

Phase separation



4º problema físico más importante de la década según la
American Physical Society (APS)

Cesga

A. Rodríguez

A. Gómez

**Departamento de
Química Física**

F. Rivadulla
J. Rivas

**Instituto
Investigaciones
Tecnológicas**

A. Piñeiro
V. Pardo
D. Baldomir

Aplicaciones tecnológicas de Óxidos de Metales de transición:

- Almacenamiento de carga eléctrica
- Transporte electrónico
- Ayudar a la optimización de la tecnología de las baterías (móviles, ordenadores portátiles)
- Sensores magnéticos

Phase separation



Sólido

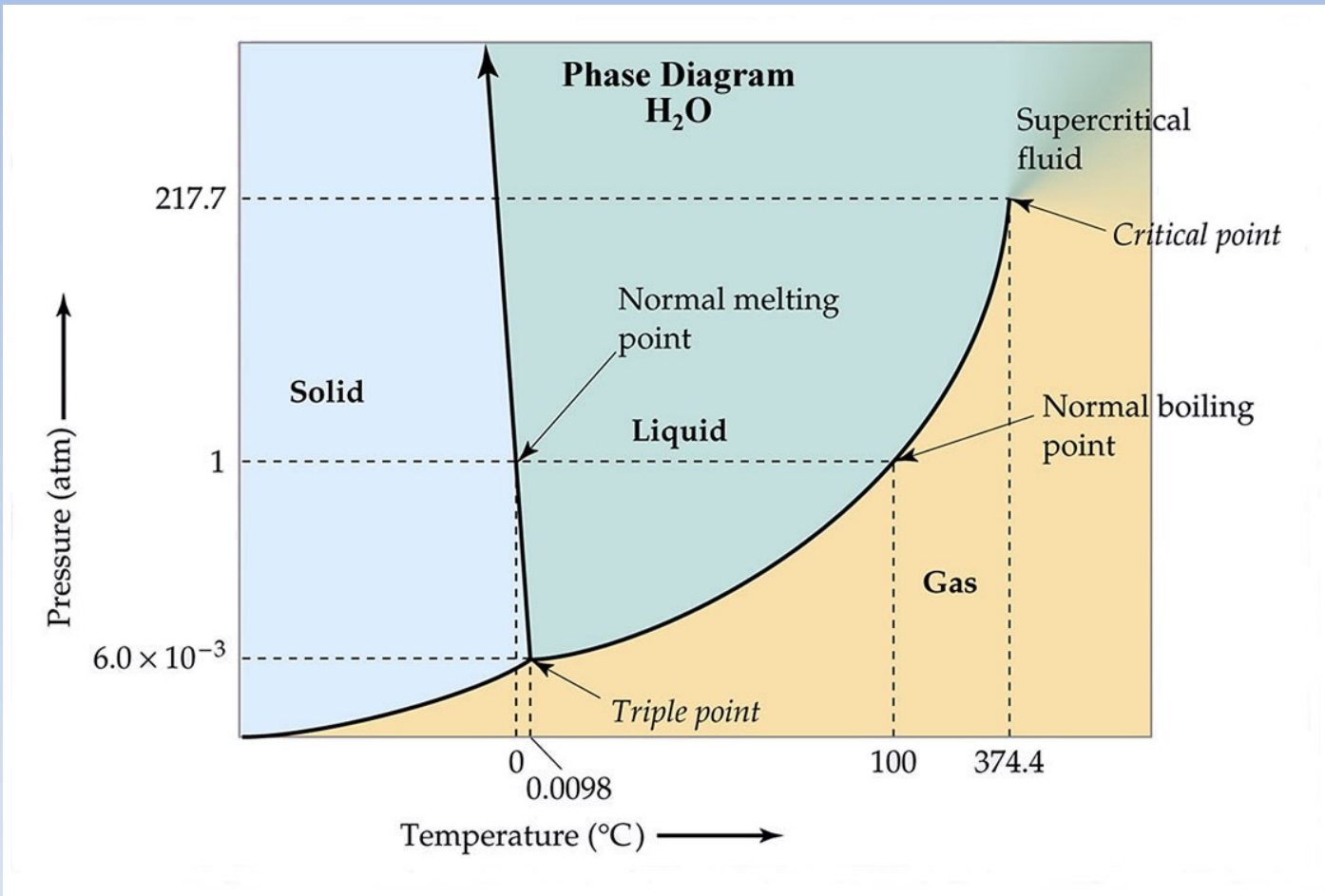


Líquido

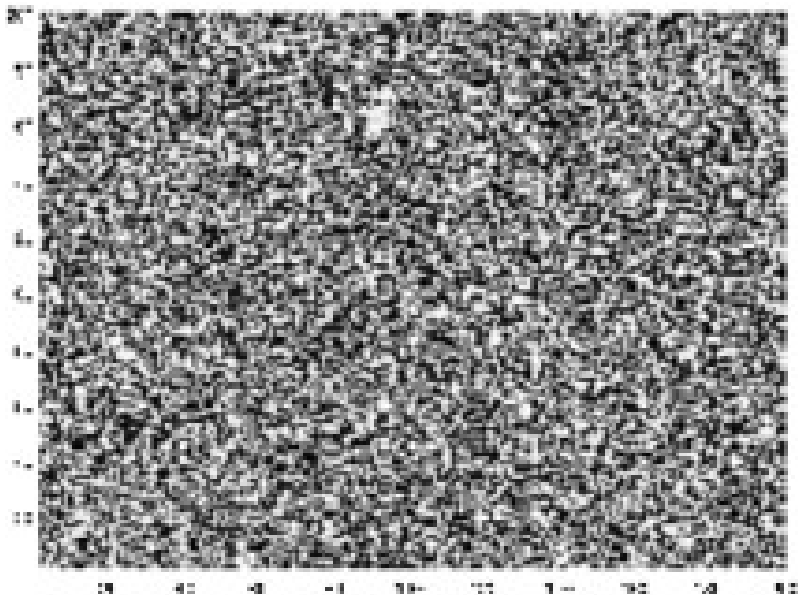
Gas

Fases del agua

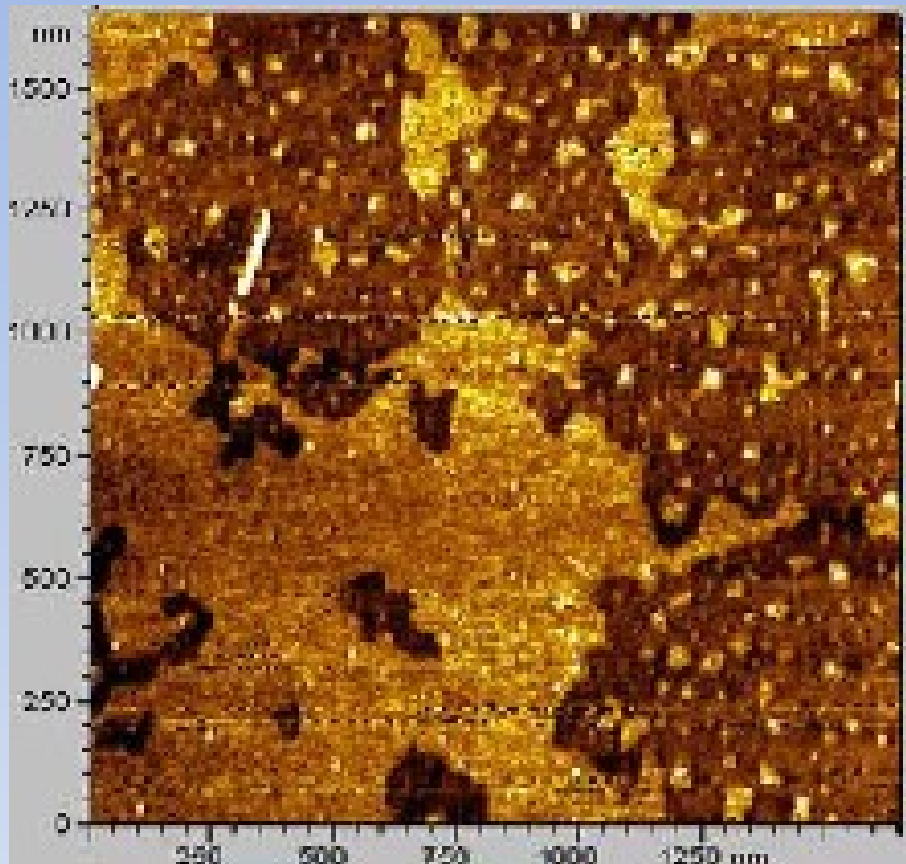
Diagrama de fases del agua



Separación de fases electrónica



Phase separation



Phase separation

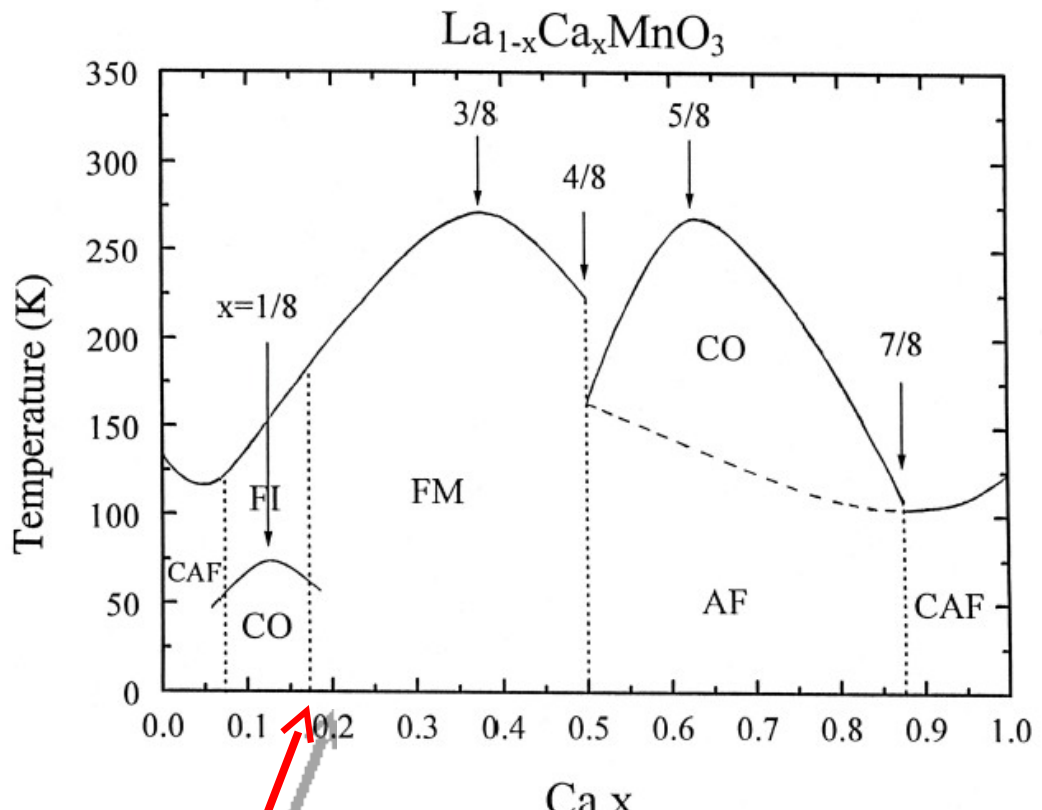


Diagrama de fases (S.-)

W. Cheong and H.Y.

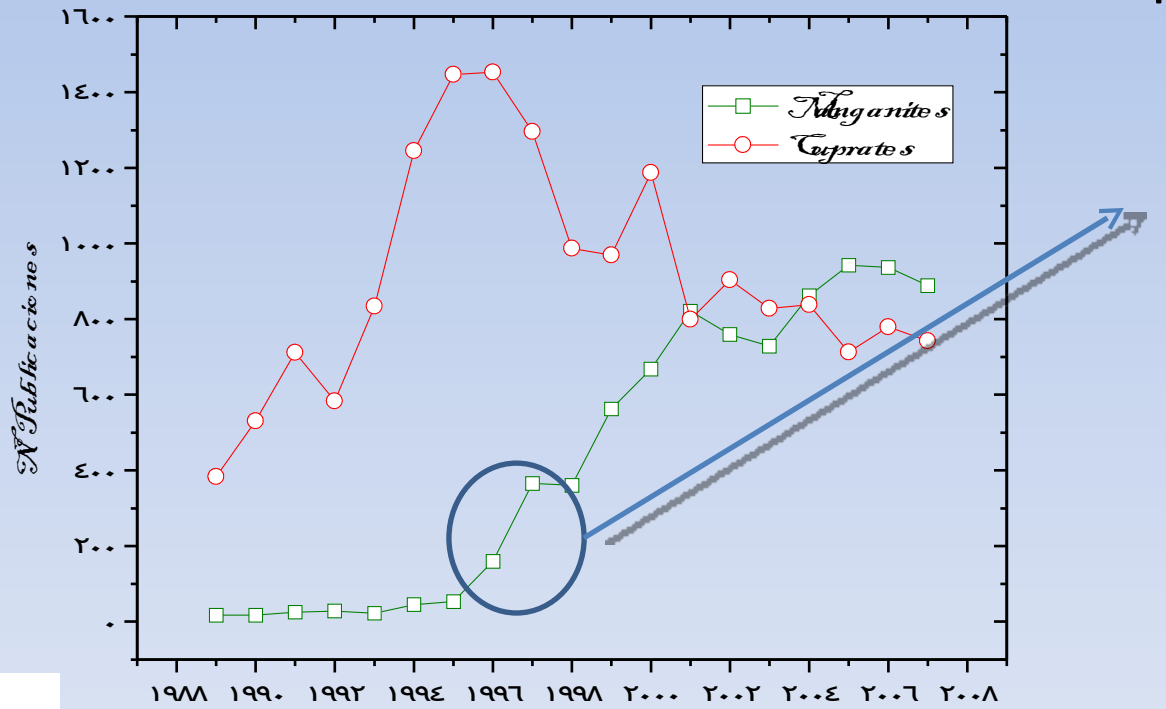
Hwang:

Ferromagnetism vs
Charge/Orbital Ordering
in Mixed-Valent
Manganites, in Colossal
Magnetoresistance
Oxides, edited by Y.
Tokura (Gordon &
Breach, Monographs in
Condensed Matter
Science, London 1999)



Phase separation

Número de papers en los últimos años con las palabras “manganite” o “manganites” en el abstract comparado con los que tienen las palabras “cuprate” o “cuprates”.
 Información obtenida online a través del Inspec



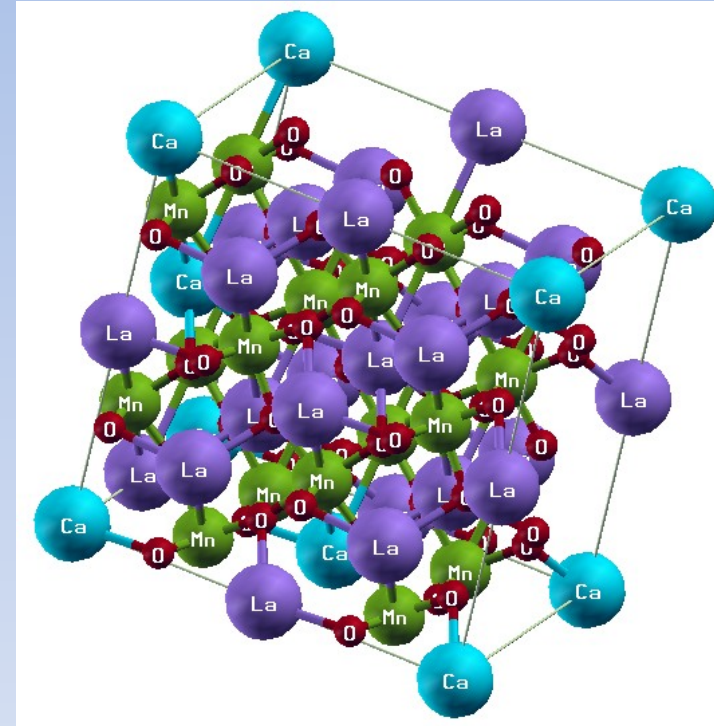
Debido al descubrimiento de la CMR (bases discos duros). Relacionado con el descubrimiento de la GMR (1988) por Albert Fert y Peter Grünberg, Nobel de física de 2007.

Introducimos la estructura a dopado $x=0.1875$



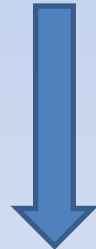
Átomos	Ca	La	Mn	O
número	3	13	16	48

22190 e⁻!!



Homogeneidad
química

- Para hacer el trabajo necesitaríamos dedicar un cluster típico de 20 máquinas durante **más de un año**
- Clusters típicos no disponen de los suficientes recursos de memoria



Cálculo inviable!!!

Gasto computacional



FINISTERRAE

24 nodos: 16 cores

384 cores

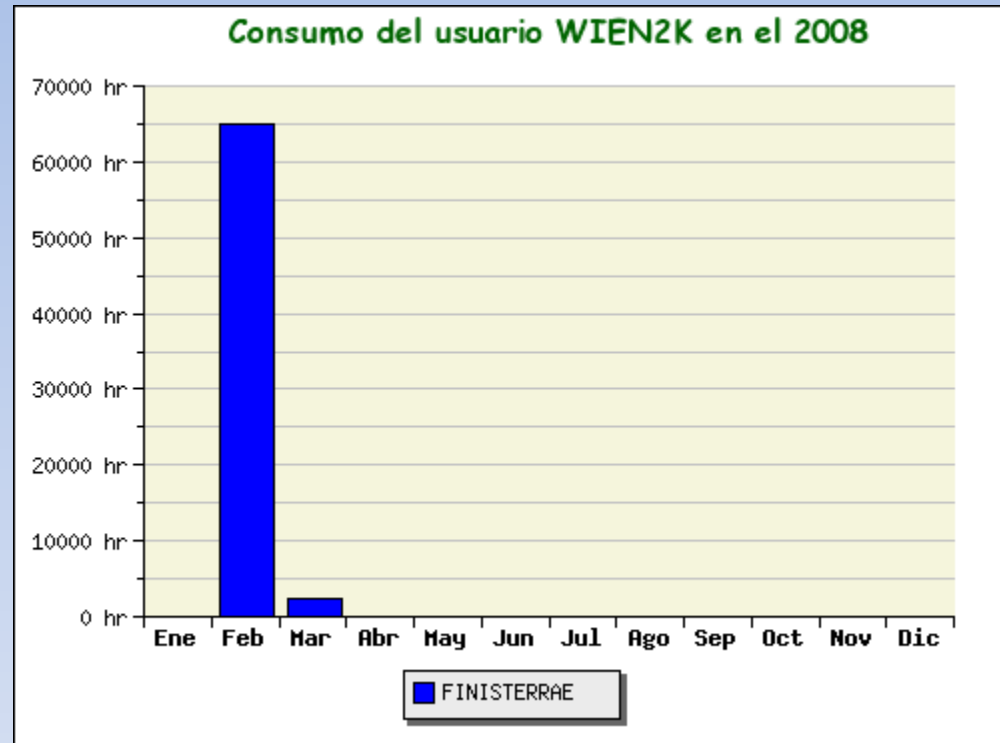
67.482 hr. y 33 min.

Consumo de memoria:

~2-4 GB por estructura

Espacio en disco:

~7-15 GB por estructura



Método computacional

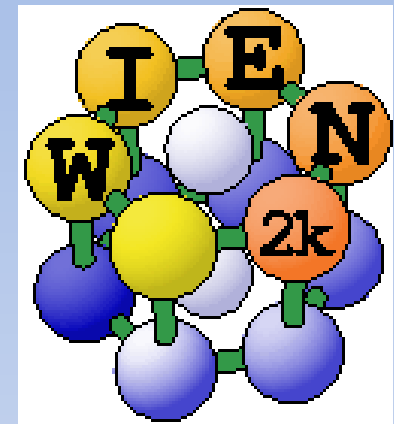
- All-electron scheme (no basta Dinámica molecular) Necesidad de mucha precisión
- DFT (Teoría del funcional de la densidad) Nobel en química para Walter Kohn, 1998. Método más preciso para sólidos



- Resolución de problemas de física de materiales, estado sólido, química cuántica, química física, etc

Programa utilizado

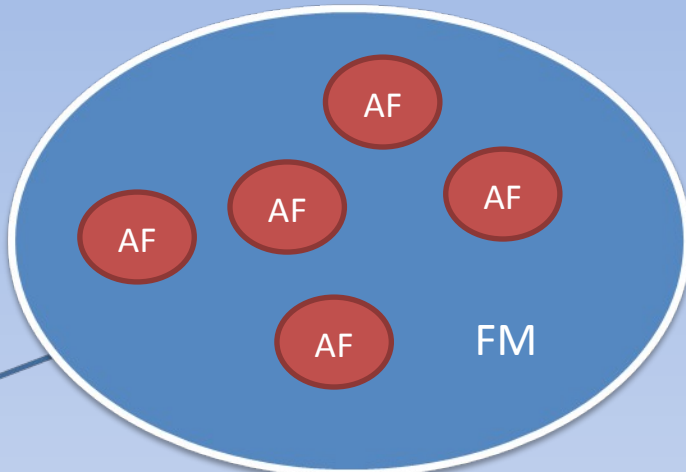
- Más de 1200 usuarios en todo el mundo (incluidas empresas)
- Aplicable a multitud de sistemas diferentes: superficies, semiconductores, metales, materiales altamente correlacionados: Sólidos cristalinos



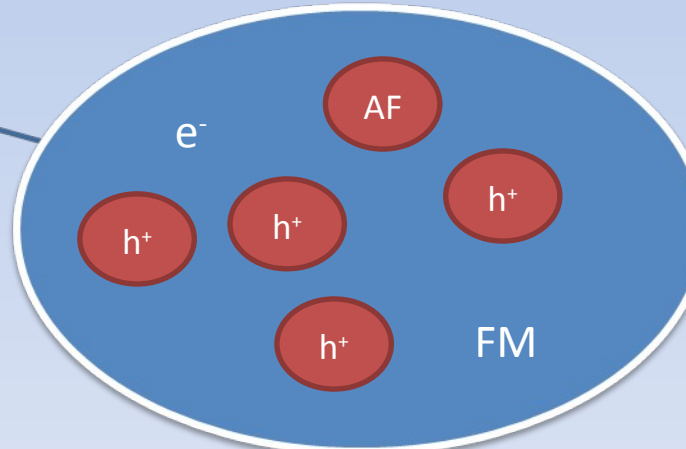
P. Blaha, K. Schwarz, G.K.H. Madsen, D. Kvasnicka and J. Luitz, WIEN2k, An Augmented Plane Wave Plus Local Orbitals Program for Calculating Crystal Properties, Vienna University of Technology, Austria, 2001.

Phase separation

Escenarios
de la
separación
de fases



Isodensidad
de carga



Hole rich/hole
poor

Resolución fases separadas: probamos varias configuraciones.

FM:  AF: 

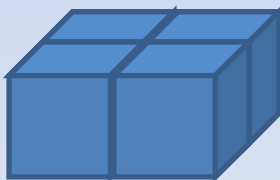
Creamos varias superestructuras partiendo de la celda primitiva ($1 \times 1 \times 1$)



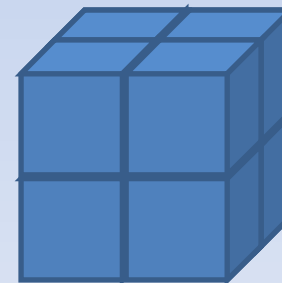
$2 \times 1 \times 1$



$2 \times 2 \times 1$



$2 \times 2 \times 2$



Configuraciones calculadas

Phase separation



=FM



=AF

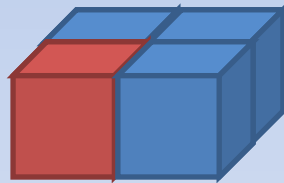
FM



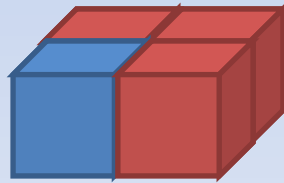
AF



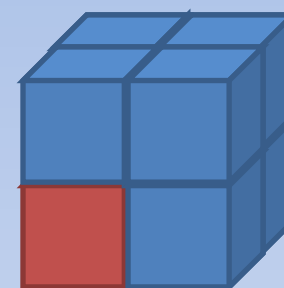
PSS



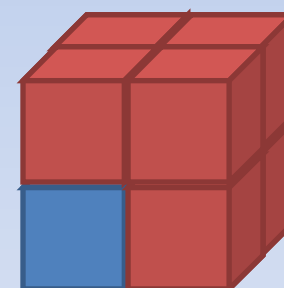
PSS_FM

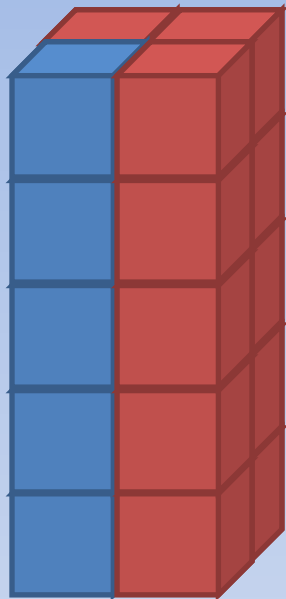
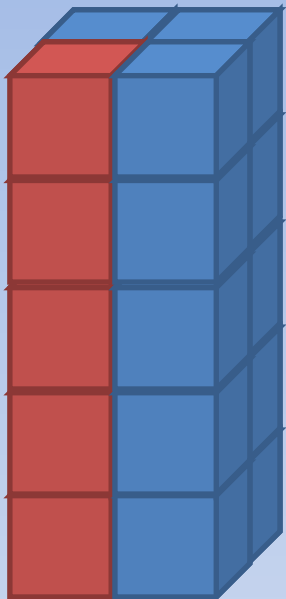


PSS_big

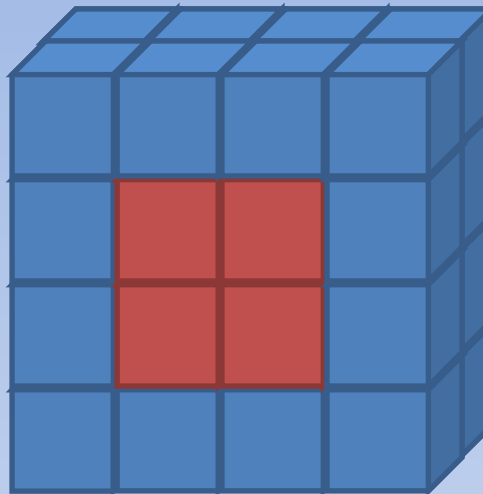
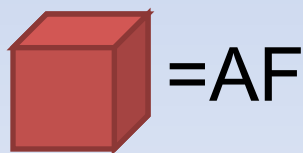
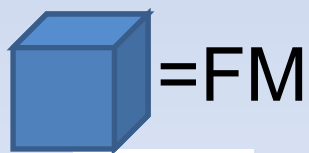


PSS_FM_big

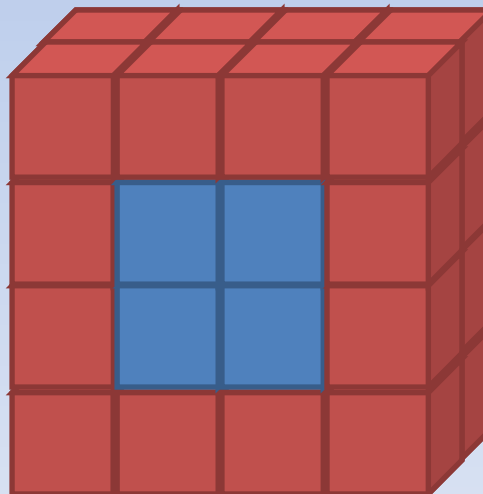




Cadenas Unidimensionales
3170 e⁻



Phase separation



Caso real
6340 e⁻

Configuraciones (imagen 2D)

FM



AF



PSS



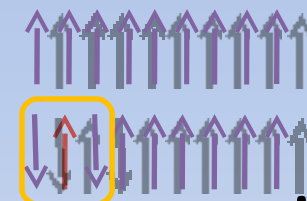
PSS_FM



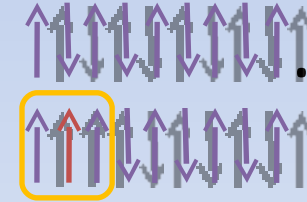
= FM

= AF

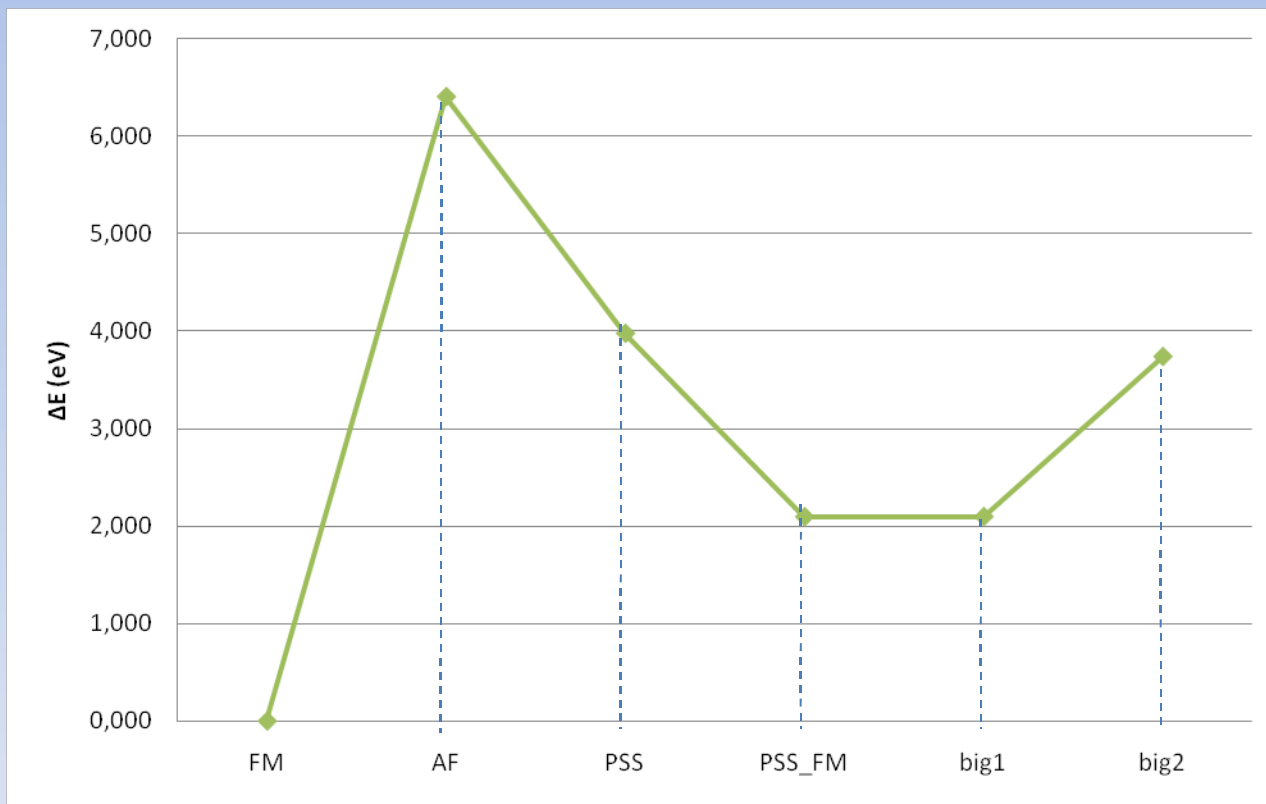
PSS_big



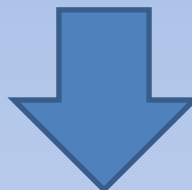
PSS_FM_big



Estabilidad

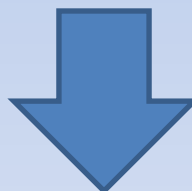


FM es la fase *más estable* : $\sim 131 \text{ meV/Mn}$ ($\sim 1520 \text{ K}$)



Separación de fases magnética solamente

NO ES ESTABLE



Probamos inhomogeneidades químicas a escala
nanométrica

Probaremos varias configuraciones químicas.

Variable: distancias promedio entre Calcios en la red $\longrightarrow <\mathbf{r}> = (\sum \mathbf{r}_i) / 3 \longrightarrow 3 \text{ Ca}$

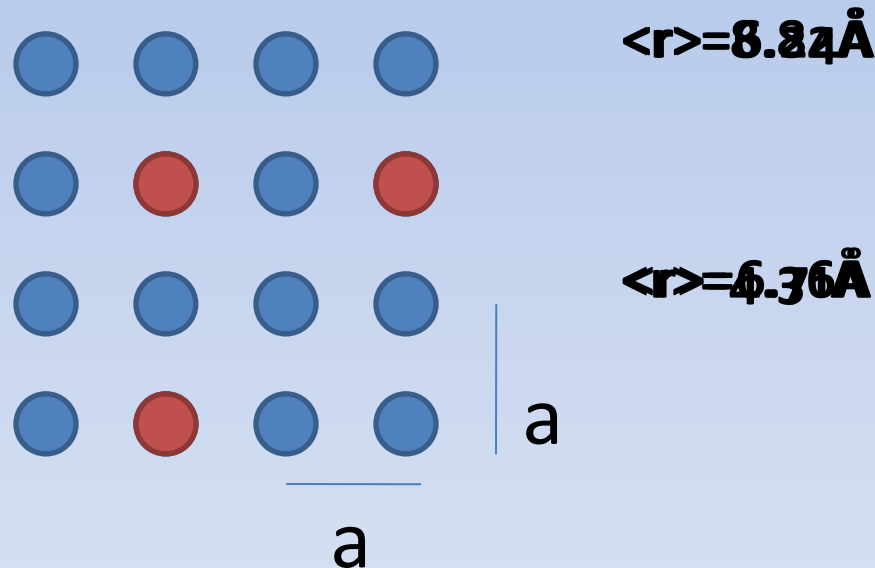


La

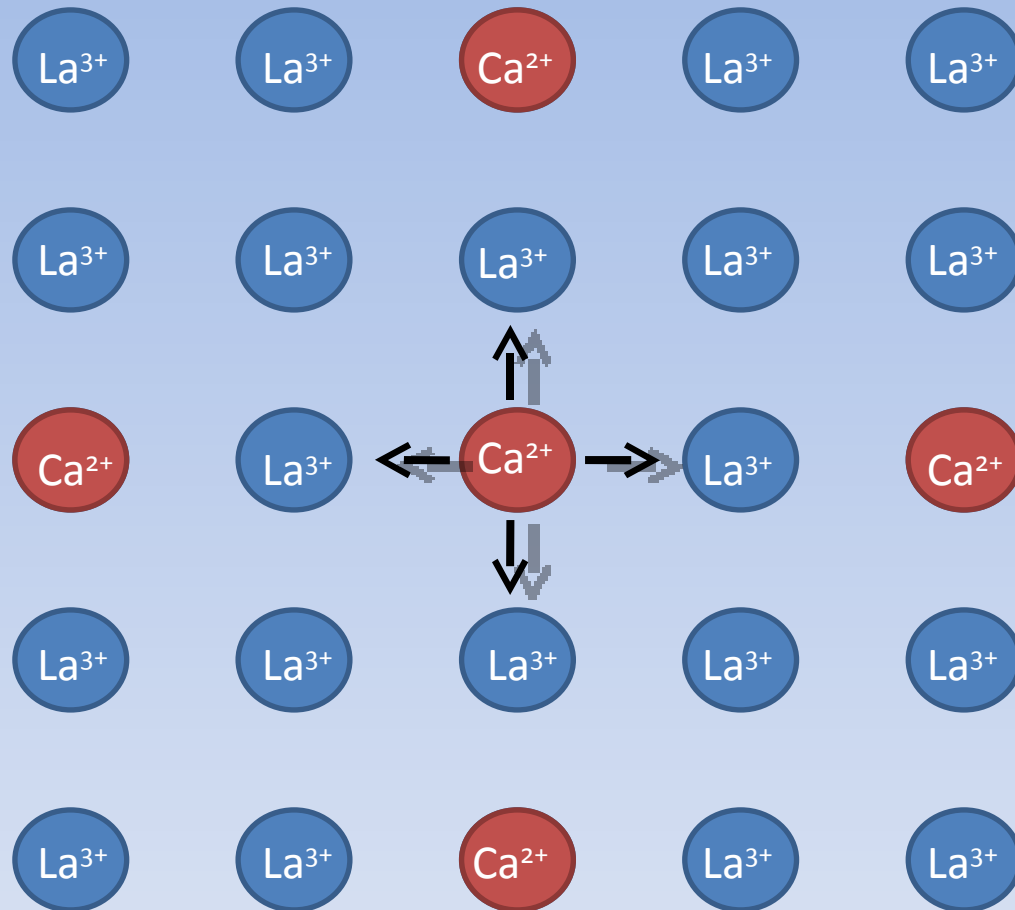


Ca

9510 e⁻

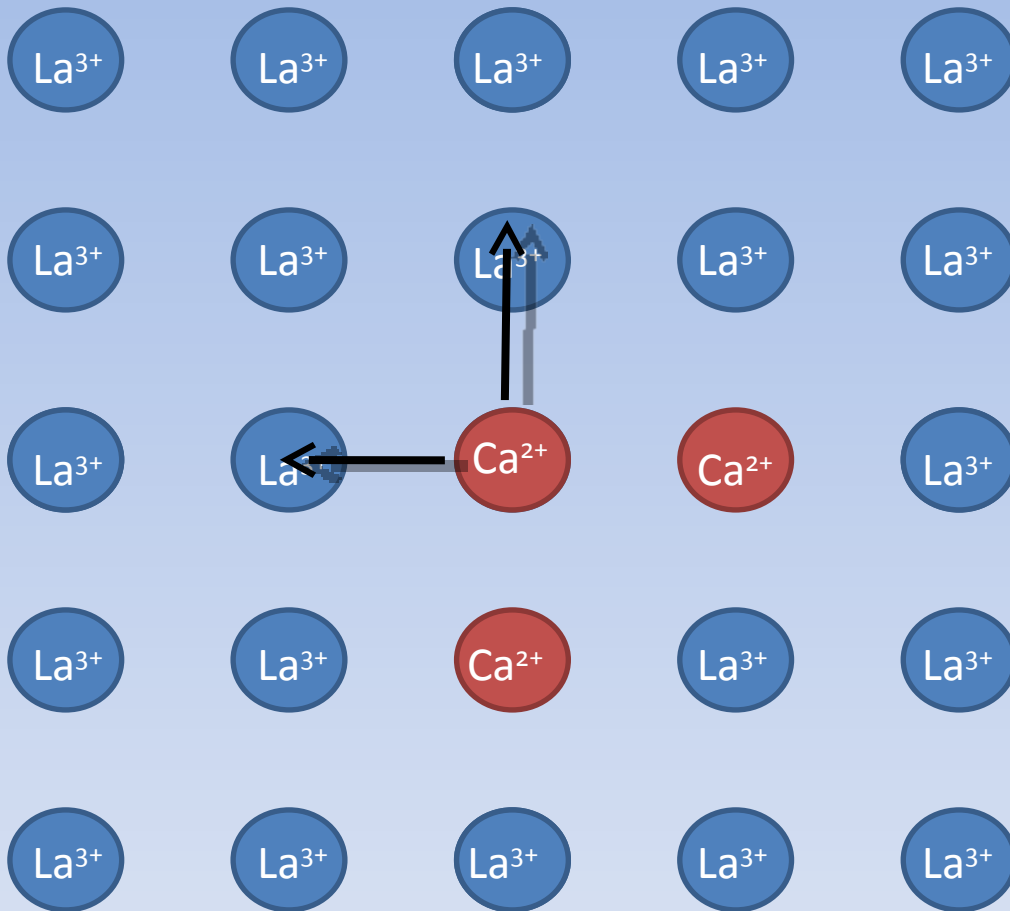


Phase separation



Homogeneidad

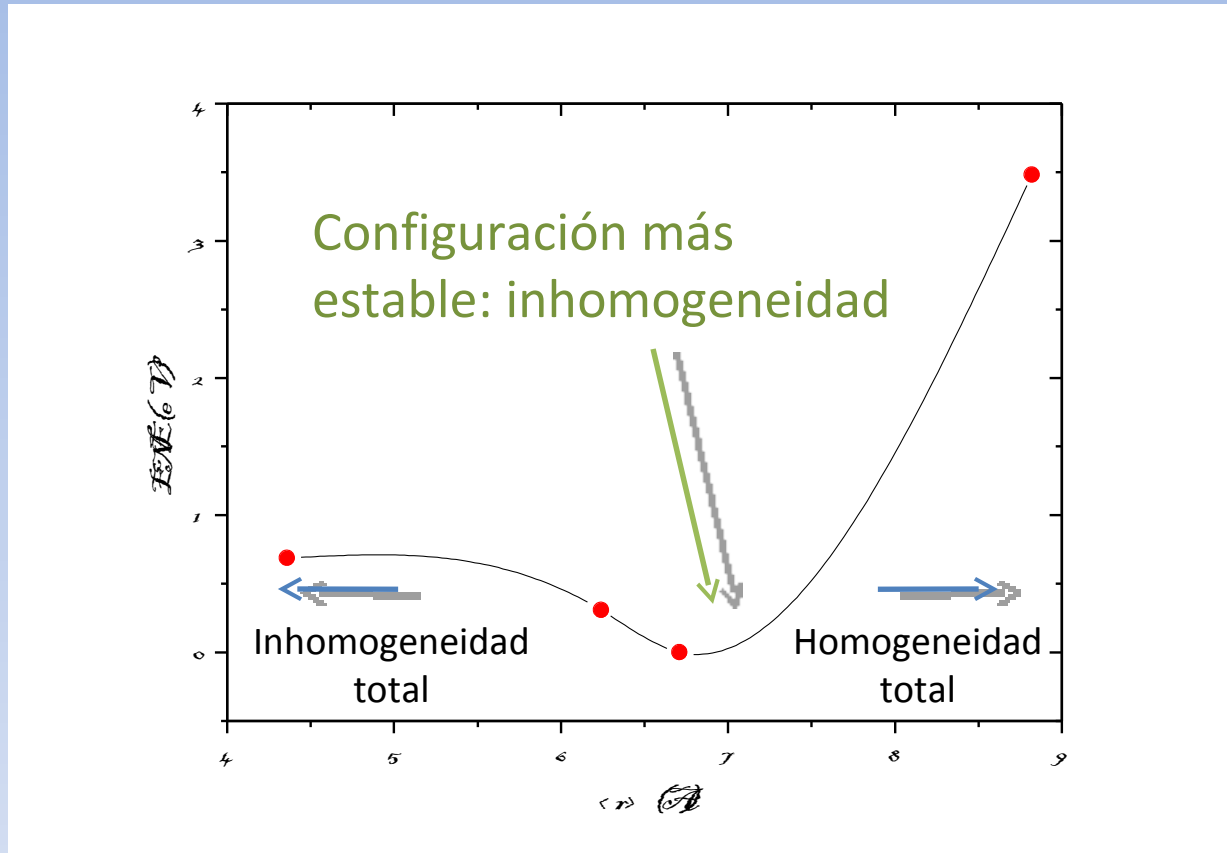
Phase separation



Inhomogeneidad

Phase separation

Energía
normalizada a la
configuración
más estable
frente al radio
promedio entre
las impurezas de
calcio



Conclusiones:

- Separación de fases magnéticas por sí sola no basta para explicar el problema
- Existe un fenómeno químico (concentraciones locales de dopado) que sí lo explica
- Esto implica creación de zonas ricas en huecos y en electrones dentro del cristal (homogeneidad no sirve)



Phase separation

Agradecimientos



MAT 2006-10027

“Estudio de la separación de fases en óxidos magnéticos combinando teoría y experimento”

- Sección Magnetismo Teórico y Computacional del Laboratorio de Sistemas del Instituto de Investigaciones Tecnológicas (J.E. Arias, J. Castro, M. Pereiro, J. Botana, D. Serantes)



CESGA-FINIS TERRAE COMPUTATIONAL SCIENCE CONFERENCE 2008

12-06-2008